

# CAMBIO DEL PERFIL DEL PACIENTE CRÍTICO TRAS EL CONVENIO CON LA COMUNIDAD DE MADRID



**Borrego Jiménez, Pilar; Sánchez Olmedo, José Ignacio; Molero Silvero, Esperanza; Pérez Alé, Manuel; Fuentes Esteban, David; Abril, Johanna Marcela.**

## INTRODUCCIÓN

El **21 de diciembre de 2010** se firma el convenio para la integración del Hospital Central de la Defensa Gómez Ulla en la Red Sanitaria de la Comunidad de

Madrid, entre la Ministra de Defensa (Dña. Carme Chacón) y la Presidenta de la Comunidad de Madrid (Dña. Esperanza Aguirre).

Dicho convenio tiene su entrada en vigor el día **01 de enero de 2011**.

Tiene una cobertura sanitaria para más de **112.000 habitantes del área 11**.



## OBJETIVOS

El objetivo principal es analizar los cambios sociodemográficos y clínicos de los pacientes atendidos durante dos periodos determinados (4 años previos y 4 años posteriores a la firma del Convenio) en la UCI del Hospital Central de la Defensa Gómez Ulla.

## MATERIAL Y MÉTODOS

Hoja de Excell de estadística propia de UCI durante el periodo de 8 años estudiado. Codificación de datos para el posterior análisis estadístico a través del programa SPSS 2.0. La muestra es consecutiva no probabilística, de los ingresos realizados durante el periodo estudiado, mayores de 18 años, de cualquier patología recogida.

## RESULTADOS

Se analizaron los datos recogidos en la hoja de registro durante los periodos estudiados, con una n= 6339, diferenciando la patología de ingreso en dos ramas: médica y quirúrgica; y a su vez, dependiendo de la patología específica de cada rama. Análisis de Chi-cuadrado de Pearson. En las patologías médicas se ha producido una diferencia estadísticamente significativa entre los dos periodos estudiados, con una p=0,011 (p<0,05), mientras que en relación con los ingresos quirúrgicos, la diferencia también es estadísticamente significativa con una p<0,001.

Tabla de contingencia Periodo \* Patología\_especifica

Periodo		Patología_especifica										Total
		Cardiología	Respiratorio	Digestivo	Endocrino	Sepsis	Neftología	Intoxicación	PCR	Otros		
2007-2010	Recuento	782	210	54	22	68	20	25	53	71	1285	
	% de Periodo	59,3%	16,3%	4,2%	1,7%	5,3%	1,6%	1,9%	4,1%	5,5%	100,0%	
2011-2014	Recuento	1141	305	99	34	121	18	13	78	75	1884	
	% de Periodo	60,8%	16,2%	5,3%	1,8%	6,4%	1,0%	7%	4,1%	4,0%	100,0%	
Total	Recuento	1903	515	153	56	189	38	38	131	146	3169	
	% de Periodo	60,1%	16,3%	4,8%	1,8%	6,0%	1,2%	1,2%	4,1%	4,6%	100,0%	

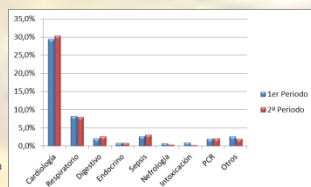
Tabla de contingencia Periodo \* Patología\_especifica

Periodo		Patología_especifica										Total
		Cx General	CTOR	CCARD	CIJROL	CMAXILO	CVASC	TRAUMAT	NEUROCYC	Otras		
2007-2010	Recuento	445	88	214	66	24	81	207	138	36	1299	
	% de Periodo	34,3%	6,8%	16,5%	5,1%	1,8%	6,2%	15,9%	10,8%	2,8%	100,0%	
2011-2014	Recuento	748	145	220	159	48	73	206	179	102	1880	
	% de Periodo	39,8%	7,7%	11,7%	8,5%	2,6%	3,9%	11,0%	9,5%	5,4%	100,0%	
Total	Recuento	1193	233	434	225	72	154	413	317	138	3179	
	% de Periodo	37,5%	7,3%	13,7%	7,1%	2,3%	4,8%	13,0%	10,0%	4,3%	100,0%	

Pruebas de chi-cuadrado

	Valor	gl	Sig. asimétrica (bilateral)
Chi-cuadrado de Pearson	19,840(a)	8	,011
Corrección por continuidad			
Razón de verosimilitudes	19,866	8	,012
Asociación lineal por lineal	3,850	1	,056
N de casos válidos	3169		

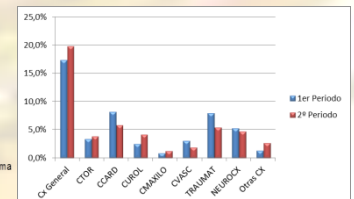
a. 0 casillas (.0%) tienen una frecuencia esperada inferior a 5. La frecuencia mínima esperada es 15,41.



Pruebas de chi-cuadrado

	Valor	gl	Sig. asimétrica (bilateral)
Chi-cuadrado de Pearson	70,893(a)	8	<0,001
Corrección por continuidad			
Razón de verosimilitudes	71,594	8	,000
Asociación lineal por lineal	5,566	1	,018
N de casos válidos	3179		

a. 0 casillas (.0%) tienen una frecuencia esperada inferior a 5. La frecuencia mínima esperada es 29,42.



## CONCLUSIONES

Los periodos comparados en el estudio presentan una diferencia estadísticamente significativa, independiente de la patología causante del ingreso. Pudiendo concluir que la firma del Convenio ha contribuido a una atención de mayor número de ingresos en la Unidad de Cuidados Intensivos del Hospital Central de la Defensa.